

УДК 535.375.54

## СПЕКТРЫ КОМБИНАЦИОННОГО РАССЕЯНИЯ СВЕТА В МОНОКРИСТАЛЛАХ $TlGaSe_2$

А. Н. Георгобиани<sup>1</sup>, В. П. Токарева, А. М. Евлоев<sup>1</sup>, Е. В. Перлов

*Представлены результаты исследования спектра комбинационного рассеяния света в монокристаллах  $TlGaSe_2$ . Способность данных слоистых кристаллов склоняться на пластинки с зеркальными гранями, являющаяся следствием резкой асимметрии химической связи, делает их перспективными материалами для фотоэлектрических преобразователей.*

**Ключевые слова:** широкозонные полупроводники, электрон, дырка, донор, акцептор, комбинационное рассеяние света.

В последние годы существенно возрос интерес исследователей к слоистым полупроводникам со сложной структурой, обладающим сильной анизотропией электронных и колебательных спектров. Интенсивно изучаются зонная структура и динамика решетки трехкомпонентных полупроводниковых соединений группы  $TlB^3C_2^6$ . Изучение свойств этих соединений имеет важное значение, так как оно позволяет выявить закономерности, определяющие зависимость свойств от состава, структуры и характера химической связи. Установление этих закономерностей дает возможность проводить целенаправленный поиск полупроводниковых материалов, обладающих заданным сочетанием физических свойств. Высокодисперсные и тонкопленочные материалы с характерными размерами в десятки и единицы нанометров находят все более широкое применение в полупроводниковой, опто- и квантовой электронике. Качество таких пленок и, как правило, параметры создаваемых на их основе приборов зависят от условий формирования

<sup>1</sup>e-mail:georg@sci.lebedev.ru; Evloev555@mail.ru

тонких слоев, размеров и ориентации кристаллитов, кинетических параметров фазовых превращений.

Это обстоятельство делает соединения типа  $TlB^3C_2^6$  особенно интересными как с точки зрения выяснения фундаментальных особенностей кристаллического строения слоистых полупроводников, так и с точки зрения технического применения. Способность данных слоистых кристаллов скальваться на пластинки с зеркальными гранями, являющаяся следствием резкой асимметрии химической связи, делает их перспективными материалами для фотоэлектрических преобразователей.

Известно, что составляющие  $TlB^3C_2^6$  ( $B$ -In, Ga; C-S, Se) катионы  $Tl^{+1}$  и  $B^{+3}$  являются элементами третьей группы и обеспечивают различные координации атомов, валентные состояния и характер химических связей. На рис. 1 показана проекция структуры  $TlGaSe_2$ . Эти особенности являются причиной резкой анизотропии физических свойств этой группы материалов. Физические характеристики и фазовый состав являются крайне важными и для тонкопленочных солнечных элементов. Комбинационная спектроскопия [1] является наиболее естественным и удобным методом для их изучения. Спектры комбинационного рассеяния содержат всю информацию о фазовом составе образца, и проблема состоит в том, чтобы извлечь эту информацию как можно полнее.

В настоящей работе приведены результаты исследования спектров комбинационного рассеяния света (КРС) монокристаллов  $TlGaSe_2$ .

*Экспериментальная часть.* Выращивание монокристаллов осуществляли модифицированным методом Бриджмена–Стокбаргера. Выбор метода выращивания и его аппаратурного решения помимо физических и химических свойств выращиваемых кристаллов во многом обуславливается как особенностями структуры этих соединений, так и тем, что их некоторые компоненты имеют высокую упругость паров. Поэтому процесс кристаллизации необходимо вести в закрытых ампулах малого объема. Эти условия легко достигаются в методе Бриджмена–Стокбаргера. Полученные кристаллы были *p*-типа и имели удельное сопротивление  $10^8 – 10^{10}$  Ом·см при 300 К. Ширина запрещенной зоны 2.18 эВ. Подвижность  $65 \text{ см}^2/\text{В}\cdot\text{сек}$ . Образцы для исследований получали скальванием монокристаллов на плоскопараллельные пластиинки. С помощью электронного микроскопа получены электронные микрофотографии, на которых видны зеркальная поверхность и слоистая структура образцов, так что дополнительной полировки не требовалось (рис. 2). Исходными материалами являлись элементы особой чистоты: таллий  $Tl$  – 000, медь ОС4-11-4, селен ОС4-17-4, галлий – 000. Синтез соединений  $TlGaSe_2$  осуществляли непосредственным сплавлением исходных компонен-

тов (основное содержание составляющих компонентов соединений не менее 99.999%) в откаченных до остаточного давления не менее  $10^{-3}$  Па кварцевых ампулах двухтемпературным методом в печах с двумя независимыми обмотками при температурах на 40–50 К выше температуры плавления соответствующих соединений в течение двух часов при непрерывном перемешивании расплава. По окончании синтеза сплавы охлаждали со скоростью 100 К/час до температуры 400 К, а затем печи выключали. Полученные таким образом соединения  $TlB^3C_2^6$ (B-In, Ga; C-S, Se) перегружались в графитизированные (5-ю слоями спектрально-чистого углерода) кварцевые ампулы заданного профиля и откачивались до остаточного давления до  $10^{-3}$  Па.

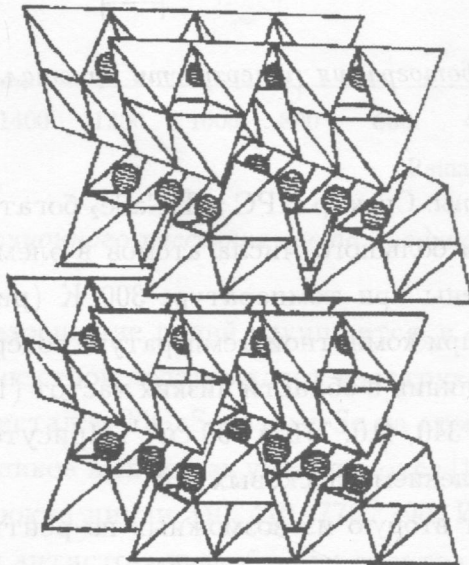


Рис. 1. Слоистая структура кристалла  $TlGaSe_2$ : кружки – ионы  $Tl$ , тетраэдры –  $GaSe_2$ .

Спектры комбинационного рассеяния регистрировались на оптической установке Sentera. Спектр возбуждался линией 532 nm алюмоиттриевого лазера мощностью 20 mW. Длина волны возбуждения выбиралась так, чтобы уменьшить глубину проникновения света и предотвратить регистрацию спектра подложки, а небольшая мощность – для избежания кристаллизации образца под действием света. Измерения были выполнены при комнатной температуре. Образец помещался в фокальной плоскости объектива микроскопа. Диаметр лазерного пучка на поверхности образца 10–12  $\mu\text{m}$ . Геометрия рассеяния 180°. Спектры пленок регистрировались с разрешением 3–5  $\text{cm}^{-1}$ .

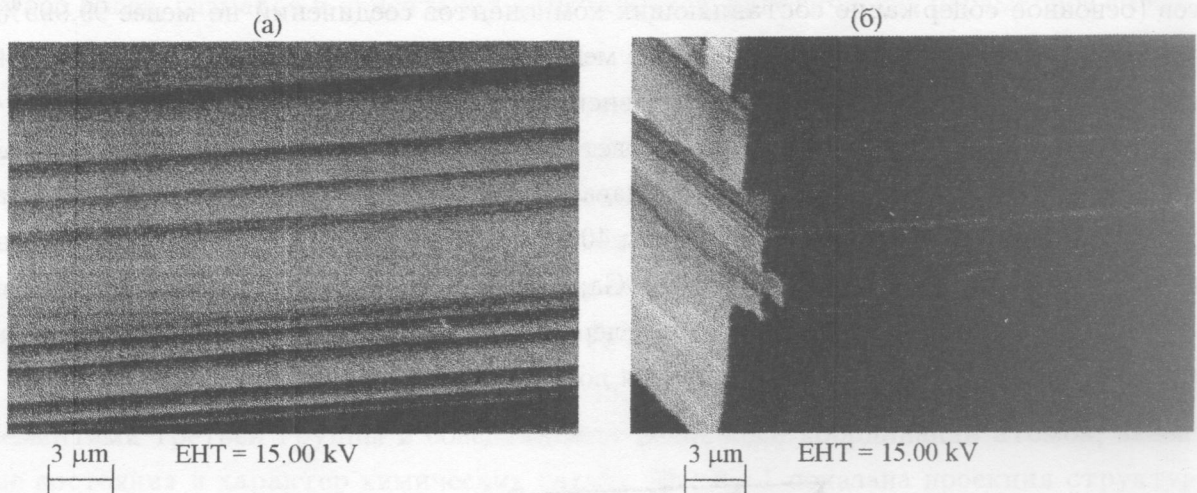


Рис. 2. Электронная микрофотография поверхности кристаллов  $TlGaSe_2$ : (а) вид сверху (б) вид сбоку.

*Обсуждение и результаты.* Спектр КРС в  $TlGaSe_2$  богат деталями вследствие низкой симметрии кристалла и большого числа атомов в элементарной ячейке  $Z = 16$ . Спектры КРС были получены при температуре 300 К (рис. 3) в интервале частот 10–1400  $\text{см}^{-1}$ . Спектр КРС при комнатной температуре содержит 9 линий. Были обнаружены интенсивные узкие линии в области низких частот (110 и 190  $\text{см}^{-1}$ ) и ряд более широких полос: 60, 150, 230, 340, 410, 770 и 790  $\text{см}^{-1}$ . Присутствие резких интенсивных полос было объяснено проявлением плосковых мод.

Кристалл  $TlGaSe_2$  имеет вторую из возможных по рентгеноструктурным данным группу симметрии  $C_{2h}^6$ . Кроме того, симметрия  $C_{2h}^6$  подтверждается отсутствием пьезоэлектричества в  $TlGaSe_2$  [2–4] и генерации второй гармоники. Известные спектры КРС кристаллов Tl [5] и GaSe [6] позволяют сделать вывод, что частоты внутренних колебаний слоя должны находиться выше 50  $\text{см}^{-1}$ . При сравнении спектров GaSe и  $TlGaSe_2$  методом корреляционного анализа нужно учесть, что в структуре типа TlSe имеются как ковалентные, так и ионные связи [7–9]. Причем интенсивность колебаний, относящихся к ионным связям, обычно мала, и соответствующие частоты скорее всего не проявляются в спектрах КРС. Частота межслоевого колебания является определенной характеристикой силы связи между слоями. В спектре КРС кристалла  $TlGaSe_2$  наблюдаются частоты выше 50  $\text{см}^{-1}$ . Отсюда можно заключить, что слои в данном кристалле связаны между собой силами не меньшими, чем в кристаллах типа GaSe.

Некоторые линии – 30, 230  $\text{см}^{-1}$  в  $TlGaSe_2$  зафиксированы нами впервые. При по-

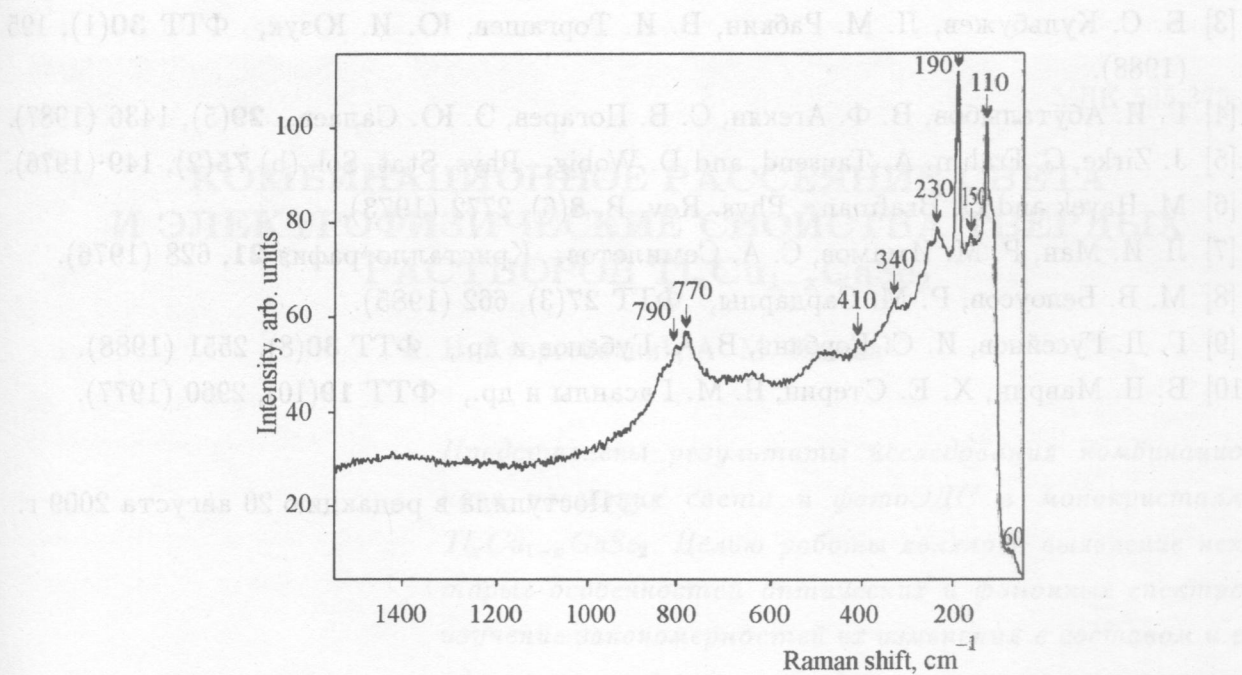


Рис. 3. Спектр комбинационного рассеяния света соединения  $TlGaSe_2$  при  $T = 300\text{ K}$ .

нижении температуры разрешение линий улучшается, и сходство спектров становится более полным. Подобие спектров подтверждает изоструктурность исследованных кристаллов. При замене в кристалле  $TlGaSe_2$  атома Se на атом S и атома Ga на более тяжелый атом In все частоты пиков в спектрах уменьшаются [10]. В спектре монокристаллов наблюдались слабые широкие линии 340, 410, 770, 790. Из отношения интенсивностей этих линий в стоковой и антистоковой области спектра следует, что они относятся к колебаниям второго порядка.

Были обнаружены интенсивные резкие линии и ряд широких полос. Присутствие резких интенсивных полос было объяснено проявлением плосковых мод.

Авторы благодарят проф. В. С. Горелика и к. ф.-м. н. Л. Л. Чайкова за обсуждение полученных результатов по КРС; Дагестанский научный центр РАН за предоставленную возможность снятия спектров КРС.

#### ЛИТЕРАТУРА

- [1] Г. С. Ландсберг, Л. И. Мандельштам, ЖРХО **60**, 335 (1928).
- [2] T. J. Isaacs, J. Appl. Cryst. **6**, 413 (1973).

- [3] Б. С. Кульбужев, Л. М. Рабкин, В. И. Торгашев, Ю. И. Юзук, ФТТ **30**(1), 195 (1988).
- [4] Г. И. Абуталыбов, В. Ф. Агекян, С. В. Погарев, Э. Ю. Салаев, **29**(5), 1436 (1987).
- [5] J. Zirke, G. Frahm, A. Tausend, and D. Wobig, Phys. Stat. Sol. (b) **75**(2), 149 (1976).
- [6] M. Hayek and O. Brafman, Phys. Rev. B, **8**(6), 2772 (1973).
- [7] Л. И. Ман, Р. М. Имамов, С. А. Семилетов, Кристаллография **21**, 628 (1976).
- [8] М. В. Белоусов, Р. М. Сардарлы, ФТТ **27**(3), 662 (1985).
- [9] Г. Д. Гусейнов, И. С. Горбань, В. А. Губанов и др., ФТТ **30**(8), 2551 (1988).
- [10] Б. Н. Маврин, Х. Е. Стерин, Н. М. Гасанлы и др., ФТТ **19**(10), 2960 (1977).

Поступила в редакцию 20 августа 2009 г.

Рис. 1. Спектры КРС для различных материалов. Видно, что спектр для материала А (004 =  $\lambda_{\text{св}}/\lambda_{\text{вн}}$ ) сдвигнут вправо относительно спектра для материала Б (004 =  $\lambda_{\text{св}}/\lambda_{\text{вн}}$ ). Спектры КРС были получены при температуре 300 К. Следует отметить, что для каждого из исследованных материалов имеется набор спектров, соответствующих различным концентрациям алюминия. Наиболее интенсивные спектры получены для концентрации алюминия 10%. Материал А имеет спектр КРС, сдвинутый вправо на величину  $\Delta\lambda = 20 \text{ нм}$ . Спектр КРС для материала Б имеет сдвиг вправо на величину  $\Delta\lambda = 10 \text{ нм}$ . Следует отметить, что для каждого из исследованных материалов имеется набор спектров, соответствующих различным концентрациям алюминия. Наиболее интенсивные спектры получены для концентрации алюминия 10%. Материал А имеет спектр КРС, сдвинутый вправо на величину  $\Delta\lambda = 20 \text{ нм}$ . Спектр КРС для материала Б имеет сдвиг вправо на величину  $\Delta\lambda = 10 \text{ нм}$ .